

土のなかの熱拡散と水分拡散

秋田大学鉱山学部 正員 色部 譲
電力中央研究所 正員 緒方 信英

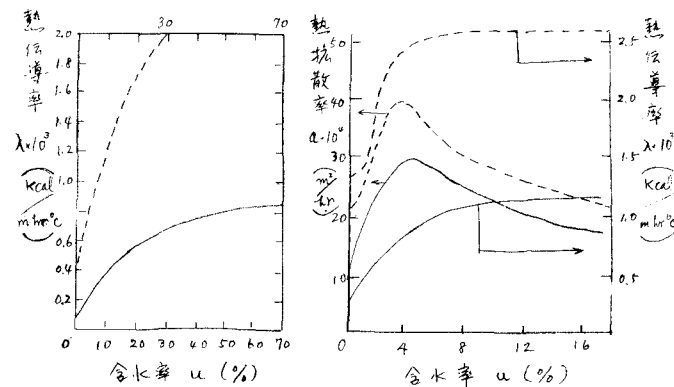
1. まえがき。 最近超高压送電線の一部が地中に入れられつつあるが、管路式の場合、送電容量を支配する重要な因子の一つは土の熱抵抗であるとされている。そのため、常温以上での土の熱特性をあさらかにする必要が生じてきている。熱抵抗とは cm^2/W の単位をもつ量であって、これはある厚さの土の平均的熱伝導率の逆数と考え得る量である。ところで、土は粒子の集まりであって、そのあいだには空気も水分も含まれている。したがって、土中の熱の移動は単純な現象でないことはたしかである。土粒子から土粒子への熱の移動にともない、粒子間にある水分の一部は潜熱をもつて水蒸気となる。飽和水蒸気圧は温度の高いところでは高く、温度の低いところでは低いから、水蒸気はマクロには熱の流れと同一方向に移動する。温度の低いところでは、水蒸気は液化して潜熱を放出する。このようにして水分の移動によっても熱の移動が促進される。熱源のまわりの水分がすっかり移動してしまえば、あとに空隙が残る。空気は断熱材として働くから、水分をすっかり失った状態では土の熱伝導率は小さいはずである。このように考えただけでも土の熱特性がいかにも複雑に変化し得るものであるかがわかる。熱抵抗の概念は包括的であって、以上のような現象を説明してくれるものではない。本報告は、2,3の砂のなかの熱伝導率および水分拡散を数値によじて比較し、かつ水分移動とともに熱抵抗について比較実験を行なった結果を示すものである。

2. 砂のなかの熱伝導。 まず、砂粒子の間隙には水分がない状態を考える。このよくなめ砂粒子の集合体のなかでは熱は大部分粒子接触あるいは接觸面をとおして粒子から粒子へと伝わると見なされる。もちろん、空気の対流による熱の移動、粒子表面からの熱輻射などわざわざながら起っているが、これらは空隙径に依存し、前者は空隙径が 5mm より小さい多孔性物質には認め難く、後者は空隙径 0.1mm 以下の多孔性物質では固体内の熱伝導率に比し無視し得るとされている。よって、通常の砂ではこれらの影響はないものと考えてよさうである。このよくなめの場合、砂のなかに熱源をおき、これをつぶむ同じ下面を考え、この面を境として内部と外部とに分けてみる。内部と外部との接觸面積が同一であっても接觸面要素の数が多いほど熱の流れに好都合なことはよく知られている事実である。よって、空隙率を小さくするような粒度配合であって、個々の粒子は角に富むほど、乾燥状態で高い熱伝導率を示すことが想像できる。

つぎに粒子間隙に水と空気とが共存する砂を考える。水の熱伝導率は砂粒子の約1%であるから、砂粒子をつなぐ水の膜、塊とおしてかなりの熱の流れが考えられる。また、水塊の温度が上昇すれば、その自由面から序序に蒸発し、生じた水蒸気は飽和水蒸気圧の低い低温域へと空隙をとおって流れ、そこで凝結して水となる。水が気化すると高温域へ熱をうけ、水蒸気が液化すると低温域へ熱を与える。したがって、この場合の砂の熱伝導率は、完全乾燥状態のそれに比し、大きくなるはずである。

最後に、間隙が水で満たされた飽和状態を考える。水についても通常の砂の場合では対流はないであろう。したがって、この場合、水圧勾配のない限り水分の移動は考えられない。しかし、空気と比べてはるかに熱伝導率の高い水が间隙を満している以上、この場合の砂は、第2の状態の砂に比し、大なる熱伝導率を有するものと考えることができます。図1はローム交りの石英砂について測定された熱伝導率である(文献1所載)。実線は间隙率20%、破線は30%のものである。この図より、间隙率の大小により、また间隙に含まれる水分の量により熱伝導率が敏感に変化するものであることがわかる。

熱拡散率は熱伝導率を容積比熱でわった量である。砂の比熱は、当然、含水量の大きいほど大きいが、含水量の変化に対して急激な変化は得られない。したがって、熱拡散率対含水量の曲線は図1の熱伝導率対含水量の曲線より緩やかに勾配の曲線が得られるものと想像される。しかし、いくつかの砂の熱拡散率の測定値は、水分の少いものは熱伝導率と類似の



図・1

図・2

傾向をもって変化し、ある含水量が最大値を示し、さらに水分が増すにしたがい減少する。図2は2種類の砂の熱伝導率および熱拡散率の測定結果である(文献1所載)。左記し、実線は石英砂、破線は磁質ロームの値である。この2例の熱拡散率測定法は、恐らく t_0 と t_1 の円筒供試体の外表面を t_0 ($t_0 > t_1$) に保ち、全体が t_0 になるまでの時間とはかって定めるものであると思われる。このような測定法によると、水分の多いものは分子力の作用によって水分移動がさむれずられ、熱伝導率も熱拡散率も水分の増大に対し同じような変化傾向を示す。しかしある程度までに水分量とすると水分移動が活発になり、供試体内に水分勾配を生じ、低温部に水が集り、高温部の含水量は減少する。熱拡散率は、この状態を経て、供試体温度が一様になるまで時間によって求められる。さて、高温部の含水量は減少しているため、その部分の熱伝導率は小さくなる。ついで、一様温度になるとには長い時間を要することになる。その結果、熱伝導率は水分が増すとともに増大するにかかりからず、熱拡散率はある含水量をこえると減少するものと考えられる。

同じ実験方法で、円筒中心部の温度の時間的変化を測定し、熱拡散率を算定すると、短時間の測定結果からは大きな値が、長時間の測定結果からは小さな値が得られる。このような差が生ずる原因も水分移動によって高温部の含水量が小さくなり、熱が移動しにくくなることにあると思われる。表1はこのような方法によって求めた石灰石砂、川砂①、川砂②、および難石砂の熱拡散率である。

3. 砂の内の水分移動。0°C以上の温度条件下では、多孔性物質の内の水分移動は、液体、水蒸気、分子の形で、現象的には毛管作用、蒸気拡散、分子拡散といった形式で進行する。水を飽

* 1. Lukić, A. V., Heat and Mass Transfer in Capillary Porous Bodies, Academic Press, New York, 1964.

表-1 砂の熱拡散率 (cm^2/hr)

材料 試験温度 時間	$t_0 = 40^\circ\text{C}, t_1 = 16^\circ\text{C}$		$t_0 = 60^\circ\text{C}, t_1 = 16^\circ\text{C}$		摘要				
	15分	30分	15分	30分	湿潤密度	乾燥密度	含水比	最大粒径	均等係数
火成石砂	15.50	13.84	20.95	17.34	2.025	1.99	0.89%	10.0 mm	15.0
川砂①	15.50	14.44	20.95	15.90	1.57	1.50	4.75	2.0	2.2
川砂②	15.18	12.66	15.72	14.60	1.47	1.37	7.32	4.9	2.5
粗石砂	9.32	7.42	10.50	8.16	1.17	0.82	42.90	10.0	12.7

和された状態にみれば、圧力勾配によって生ずる移動のみが考えられるが、不飽和状態ではこれらの現象が同時に進行する。これらの現象を一括して水分拡散と呼ぶこととする。水分拡散は多孔性物質中に水分勾配があればからず起る。

水分拡散率は一般に含水率および温度に依存する。含水率が小くなると、主として分子拡散の形で移動が行われる範囲では水分拡散率は小くなる、含水率の増大につれ水分移動が液体の形で行われるようになると水分拡散率は急激に増大する。

前記の川砂②について等温状態で水分拡散率を測めた結果を図-3に示す。比較例として石英砂(粒度配合、密度など不明)の水分拡散率を示せば、図-4のとおりである(文献1引載)。両図を比較し、川砂②のはうが石英砂よりオーダーにして一桁小さくなる。すなわち川砂②はこの石英砂に比し保水性の高いことがわかる。

水分拡散は、水分勾配がなくとも、前節で述べたように温度勾配のあるところに起る。温度勾配によつてひきおこされる水分拡散を熱水分拡散といふ。熱水分拡散率と一緒に温度場を得られる水分拡散率との比の値は0から0.2の範囲にゐるといわれているが、熱水分拡散率の測定にはつむめて精巧な装置が必要となるため、ここでは行はなかった。

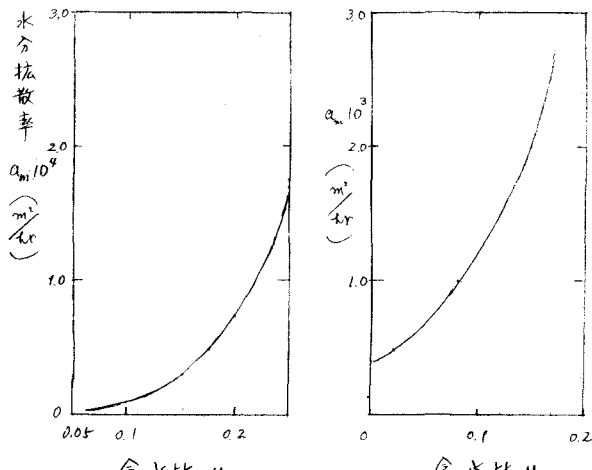


図-3 川砂②の水分拡散率

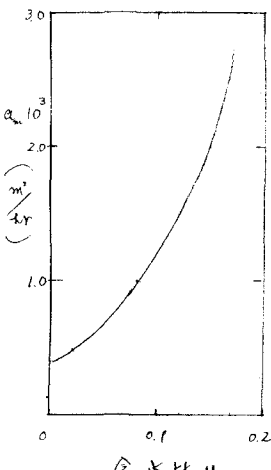


図-4 石英砂の水分拡散率

4. 砂柱の熱・水分拡散実験。以上述べたように砂の伝導熱の移動・水分の移動は、砂の材質、粒度分布、密度、含水量によって左右される。ここでは、第2節に記した各種の砂を用いて、同一条件のもとで得られた含水状態(表-1にそのときの含水比が記入されている)で、同一の総め目め法によって高さ40cm、断面積 $45 \times 45 \text{ cm}^2$ の角柱試料をつくり、四側面を断熱材で囲み、底面を約 60°C に保ち、上面に水分の蒸散を防ぐためアルミニウム板を敷き、 20°C の恒温室に24時間おいて、いかほどの温度分布、水分分布を得らんから比較実験を行なつてみた。図-5に実験結果を示す。

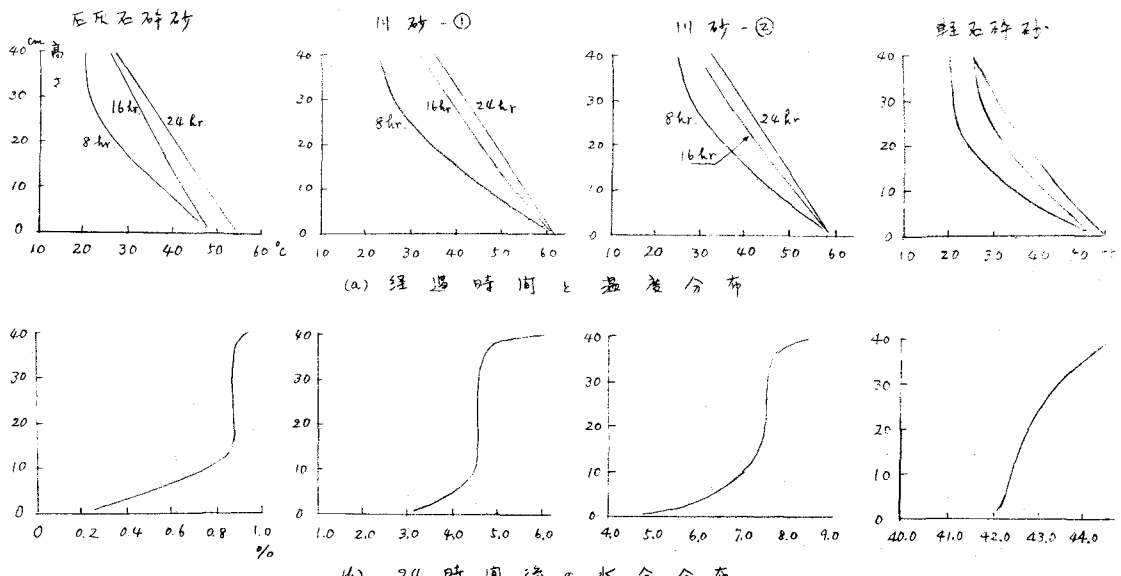


図-5 砂柱の熱・水分拡散実験結果

装置の調整に若干の手違いがあつたため、石灰石碎砂かより軽石碎砂試料（気泡の混入は 60°C において多く）を用いた。上図を見れば、軽石碎砂との比で、24時間も経過するに付けて直線的な温度分布を呈している。もちろん、その勾配にはほとんど差はない。円筒供試体による熱拡散率測定結果の表1に見られるように、中心温度と表面温度との差が小さいほど、すなわち温度勾配が小さいほど、どの材料も熱拡散率は小さな値を示し、材料のうちがいさむる差も小さくなる。本実験における角柱供試体によられたる程度、温度勾配に対するは、石灰石碎砂、川砂-① 川砂-② の熱拡散率にはほとんど差がないことになるのである。そのため、図示のように、この3者の供試体温度は、どれも16時間も経過するに付けて、同じように直線分布となつるものと解釈すべきである。軽石碎砂の場合、24時間後の温度分布曲線は他の材料より8時間後の曲線と16時間後の曲線の中間の形状を呈し、この方への熱の移動は、他の材料に比し、はるかに緩慢であること、すなわち軽石碎砂の熱拡散率あるいは熱伝導率は他の材料よりもよりかなり小さなことがわかる（表1参照）。

つづいて24時間後の水分分布を見ると、水分勾配を生じているのは、石灰石碎砂と川砂-① とは角柱の下部15 cmと上部5 cmの範囲であるのに對し、川砂-② では下部20 cmと上部5 cmの範囲となりて、軽石碎砂では底面から上面まで全範囲にわたっている。これより軽石碎砂より川砂-② ほどうが、川砂-② より川砂-① より石灰石碎砂のほうが保水性が高いこと、すなわちこの順に水分拡散率の値が小さくなるものと言えよう。

5. あとがき。以上によつて、 0°C 以上の温度のことでは、熱の伝導の熱の移動に際しては、水分移動が同時にあつり、お互いに助長し合つてゐること、熱的性質が空隙率、含水率、温度勾配などの諸条件に強く依存することが示された。管路式超高压地中送電線のような地中に入んされた電熱体の温度上昇量を決定するには、それがなりの土壤について熱的性質の他の量への依存度がいかにされねばならぬのである。